

Kilavuzların ardından lipid düşürücü tedaviye bakış
A perspective to lipid lowering therapy after guidelines
D. Ural

Türkiye'deki kalp yetersizliği prevalansı ve öngördürücüleri
Heart failure prevalence and predictors in Turkey
M. Değertekin ve ark.

Elevated carbohydrate antigen 125 levels in patients with aortic stenosis
Aort darlığı hastalarında artmış karbonhidrat antijen 125 düzeyleri
E. Varol et al.

Serum total testosterone and 24-hour urinary sodium excretion
Serum total testosteron düzeyi ve 24 saatlik idrar sodyum atılımı
B. Afsar et al.

EECP for coronary artery disease in the United States and Turkey
Amerika Birleşik Devletleri ve Türkiye'de koroner arter hastalığı için EECP
Ö. Soran et al.

Comparison of DDD versus VVIR pacing modes in elderly patients with AV block
AV tam bloklu yaşlı hastalarda DDD ve VVIR kalıcı kalp pili modlarının karşılaştırılması
B. Kılıçaslan et al.

Normotansif obez çocuklarda sol ventrikül fonksiyonunun ekokardiyografiyle değerlendirilmesi
Echocardiographic evaluation of left ventricular function in normotensive obese children
A. E. Kibar ve ark.

Fenestrated cor triatriatum sinistrum
Fenestre kor triatriatum sinister
Z. Işılak et al.

Adult patient with Shone's syndrome and patent ductus arteriosus
Shone sendromu ve duktus arteriyoz açıklığı olan erişkin hasta
Ç. Akgüllü et al.

Paget-von Schrötter syndrome
Paget-von Schrötter sendromu
A. Sayın et al.

Lamotrigine related myocarditis
Lamotrijin ilişkili miyokardit
T. Bayhan et al.

Sağ atriyumda semptomatik lipom
A case of symptomatic right atrial lipoma
H. T. Parmaksız ve ark.

Akut sağ kalp yetersizliği ile başvuran hastada triküspit kapak brusella endokarditi
A case with tricuspid valve brucella endocarditis presenting with acute right heart failure
H. U. Yazıcı ve ark.

Dysfunction of high-density lipoprotein and its apolipoproteins
Yüksek yoğunluklu lipoprotein ile apolipoproteinlerinin işlev kusuru
A. Onat et al.

Vazoreaktivite testi nasıl yapılmalıdır?
How to do vasoreactivity test?
U. Canpolat ve ark.

Evaluation of early dysfunction of a prosthetic mitral valve by real-time 3D TEE
Gerçek zamanlı 3D TÖE ile bir protez mitral kapakta erken işlev bozukluğunun değerlendirilmesi
S. Aytakin et al.

Mikrokateter aracılı diseksiyon sonrası kapanan koroner ile pulmoner arter arasındaki fistül
Closure of the coronary to pulmonary artery fistula after microcatheter mediated dissection
U. Canpolat ve ark.

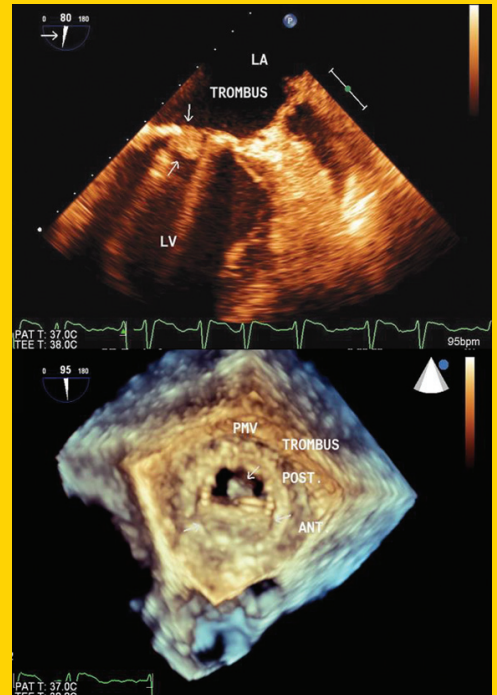
Atrial fibrillation due to right atrial compression in a patient with pectus excavatum
Kunduracı göğüsü olan hastada sağ atriyum basısına bağlı atriyum fibrilasyonu
U. Canpolat et al.

Percutaneous retrieval of an embolized occluder device from the aorta using a goose-neck snare
Aorta embolize kapatma cihazının bir kaz boynu kementi kullanılarak perkütan alımı
A. Yıldırım et al.

Transcatheter treatment of subclavian and pulmonary steal phenomenon in an infant
Bir bebekte subklavyen ve pulmoner çalma fenomeninin transkateter tedavisi
O. Başpınar et al.

TÜRK KARDİYOLOJİ DERNEĞİ ARŞİVİ

ARCHIVES OF THE TURKISH SOCIETY OF CARDIOLOGY



Evaluation of early dysfunction of a prosthetic mitral valve by real-time 3D TEE.
S. Aytakin et al.

Cilt/Volume 40, Sayı/Number 4



**TÜRK
KARDİYOLOJİ
DERNEĞİ**

TURKISH
SOCIETY OF
CARDIOLOGY